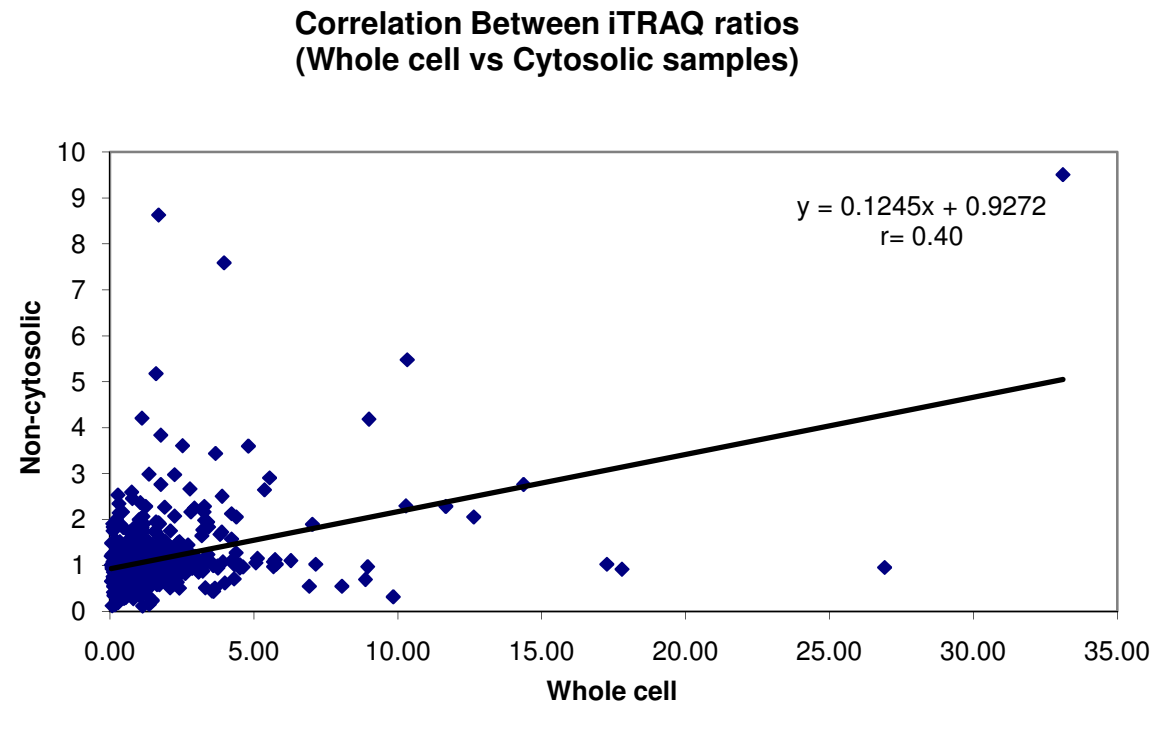


Supplementary Table 5. The comparison of iTRAQ ratios of common proteins found in three experiments (Whole cell, cytosolic and non-cytosolic). Chaerkady et al. - Comparative proteomics of human embryonic stem cells and embryonal carcinoma cells

Gene Symbol	Whole Cell iTRAQ Ratio ESC/ECC	Cytosolic iTRAQ Ratio ESC/ECC
SMARCC1	1.18	0.89
HSPA5	2.38	1.45
HSPA4	1.73	1.91
SUMO1	0.66	0.85
HSPA9	2.34	1.02
HSPA8	3.39	1.95
FKBP4	0.13	0.35
ANP32E	1.14	0.6
ANP32B	0.43	0.57
ANP32A	0.54	0.76
DBN1	8.96	0.98
ADD1	3.57	1.04
C21orf70	1.51	1.13
ATP6V1B2	1.33	0.68
NDUFAB1	0.81	0.28
RUVBL2	1.26	1.2
PPP2R4	0.33	0.7
DHX9	0.87	0.42
PLEC1	1.93	1.11
DIAPH1	0.68	0.85
WDR1	1.00	1.19
CTNNBL1	0.27	0.73
PPP2R2A	0.99	0.96
BCAT1	1.46	0.23
FXR1	0.77	0.85
CNDP2	3.83	1.68
AHSA1	0.97	0.95
MYL6	1.15	1.55
HNRPDL	0.76	0.79
PPIL1	0.85	1.14
WHSC2	0.26	0.82



PSMB6	1.25	1.32
ACLY	1.76	1.32
YBX1	17.27	1.03
TSN	1.12	0.69
ATP6V1A	1.12	1.16
ELAVL1	0.67	1.11
ATP6V1E1	1.50	0.97
HSP90B1	2.71	1.45
GTF3C3	0.41	0.87
UROD	1.87	1.48
STIP1	0.85	0.75
CBR1	1.69	8.63
TPT1	1.06	1.11
XPO1	0.95	1
CCT8	0.98	0.69
RPL7A	0.42	1.07
CSDE1	0.59	0.9
FARSB	0.29	0.94
CCT2	1.26	0.99
CCT3	1.00	0.67
CCT7	3.60	0.44
CCT4	4.33	1.02
CCT5	1.82	0.88
EFTUD2	0.44	0.92
PAICS	1.03	1.43
TTN	0.96	1.21
GTF2I	0.98	1.14
LOC727761	1.46	1.06
GPS1	0.63	0.94
GDI2	1.16	1.75
GART	0.77	0.97
ARPC4	0.42	1.12
GARS	0.88	1
PSMD11	0.61	1
PSMD13	0.64	0.96
PSMD12	1.77	2.77
C22orf28	0.98	0.99

CBS	1.47	1.46
GFPT1	0.41	1.23
FLNB	2.81	2.17
FLNC	1.33	0.33
EIF4A1	0.68	1.73
EIF4A3	1.07	0.97
KRT18	0.22	0.42
MYH10	3.23	1.07
RPL24	1.01	1.04
GANAB	0.90	0.6
MSH6	0.84	1.15
SMS	0.78	1.04
PRKCSH	0.46	0.82
AKAP12	1.96	1.15
FH	1.02	0.6
CDC2	1.10	0.98
GLS	1.57	0.79
HINT1	5.78	1.03
MDN1	1.33	1
TRIM71	0.81	1.07
CDC37	2.43	1
ST13	1.72	1.35
PSMD5	1.01	0.94
ACAT2	1.02	0.78
C1QBP	1.14	0.92
ENOPH1	0.74	0.95
COX4I1	2.62	0.83
CAPZA2	0.96	0.73
LOC644166	0.19	0.98
PGLS	1.13	0.8
TBCA	2.06	1.4
HSPE1	0.07	0.93
MARS	0.93	1.04
ARF4	0.04	1.01
MDH2	2.41	0.51
RBM4	1.45	0.88
MAP4	1.69	1.29

RPL23A	1.33	1.53
EEF1A1	1.59	1.72
HMGB1	1.77	3.84
PSMD6	1.77	0.97
PSMD1	0.98	1
PSMD3	2.99	0.96
PSMD2	1.03	0.57
PLCG1	0.51	0.81
PSMD7	1.03	0.88
CPSF6	0.47	0.78
HIST2H4B	0.89	1.52
EIF2S3	0.49	0.96
CAD	0.92	0.95
DDX17	0.12	0.55
PGD	3.27	2.17
NMT1	0.95	1.16
PMPCB	1.19	0.8
AASS	14.37	2.77
VPS29	0.57	1.51
NUDC	0.70	0.64
IMPDH2	1.14	0.65
PEA15	1.23	0.55
RBM25	1.01	0.78
PSMC1	0.47	0.98
PSMC2	1.85	0.95
PSMC3	0.70	0.64
PSMC5	0.07	0.96
PSMC6	0.97	1.01
CTSC	0.48	1.02
BAT1	0.11	1.07
RTN4	2.06	1.05
NOLC1	1.13	0.89
KPNB1	0.92	1.01
SEPHS1	2.24	2.08
RTN3	1.07	0.86
CALR	0.91	1.69
CALU	0.43	0.77

NUP37	1.40	1.33
ACTR2	0.68	1
LOC646195	1.17	1.01
NCL	0.62	0.59
BZW1	0.61	1.02
EEF2	12.64	2.06
CHERP	0.39	0.76
HUWE1	0.85	0.91
UFC1	0.70	0.6
MIF	0.05	1.49
PRPF8	0.75	0.85
LRRC47	1.05	1.09
NUDT21	0.27	0.77
RPL22	1.13	1.34
GNL3	1.30	0.67
PEBP1	0.57	1.19
EIF3K	0.46	1.83
EIF3L	0.49	1.07
HYOU1	2.07	1.21
RAN	0.12	0.86
EIF3A	0.80	1.04
EIF3B	0.59	0.93
EIF3C	1.07	1.11
EIF3D	1.13	1.17
EIF3E	0.77	0.99
STRAP	1.06	0.34
RARS	0.98	1.04
FADD	1.14	1.09
CRKL	0.56	1.13
HDGF	1.09	0.52
LOC401206	0.21	0.99
DNAJA1	0.32	0.92
TPR	1.03	0.94
PHGDH	0.06	0.66
PAFAH1B3	0.28	0.93
PAFAH1B2	1.56	1.75
DBI	0.31	0.76

SYNCRIP	3.27	1.01
CNN3	0.90	0.92
CNN2	1.35	1.34
VIM	1.13	0.6
RCN1	0.99	0.68
PTPN12	2.02	1
FKBP3	1.28	1.39
C14orf166	0.68	1.05
DDAH1	4.23	1.58
PAK2	1.18	1.03
ANXA1	11.67	2.29
CTPS	0.52	0.68
PDXK	1.19	0.9
FUS	0.99	0.54
COPS2	1.12	1.17
SPTAN1	1.02	1.13
FUBP1	0.52	0.99
KHDRBS1	9.84	0.32
EIF2A	0.62	1.07
LAMB1	1.38	1.39
EXOSC4	0.99	0.74
RUVBL1	5.12	1.16
SUB1	1.23	1.52
ADAR	0.69	0.84
KHSRP	0.19	0.74
TKT	1.06	1.84
SF3A3	0.39	0.7
L1TD1	4.39	2.06
WDR3	17.79	0.92
DPYSL2	0.24	0.64
DPYSL3	0.94	1.14
POLR1C	1.34	0.8
TNPO1	1.38	0.89
NHP2L1	0.15	0.91
ABCF2	1.08	0.98
EIF4E	3.59	1
TUBB2A	1.91	1.53

TUBB2C	0.26	0.72
EIF4B	1.34	0.82
LARS	0.67	1.02
NASP	2.20	0.59
MTHFD1	1.90	2.27
SPARC	2.09	0.52
TUBB	1.01	0.7
PFN1	1.69	1.93
AKR1A1	2.01	0.96
SSB	1.62	1.02
TPM4	1.38	1.25
ADSS	1.56	1.01
RPLP2	3.93	1.08
RPLP1	0.75	1.73
RPLP0	1.67	1.08
TPM2	1.68	0.93
FABP5	5.55	2.91
GCN1L1	1.03	1.16
PPA1	2.96	1.2
CBX5	0.55	0.96
WDHD1	0.78	1.04
QPRT	0.60	0.6
SET	4.51	1.02
SFRS13A	1.08	0.83
ATP5A1	1.01	1.39
TPM3	1.19	0.92
SNRPA1	0.75	0.73
TPM1	3.31	0.52
HNRNPAB	1.86	1
HNRNPL	0.87	0.84
SRP72	2.17	0.96
ETFA	0.92	0.92
CLIC4	2.01	0.81
LIN28	1.06	0.6
CLIC1	0.92	1.03
CSTB	0.16	0.88
HNRNPA3	4.31	0.71

HNRNPA0	3.22	0.88
HNRNPA1	8.06	0.55
ENO1	0.98	1.65
ENO2	0.55	0.3
SND1	1.45	1.08
IGF2BP1	0.99	0.69
IGF2BP3	0.97	0.86
NAT13	1.00	1.09
API5	1.04	0.83
TCP1	0.34	0.95
PPAT	0.92	0.92
RPL10A	1.96	1.49
HNRNPF	1.05	1.22
PRDX6	0.43	2.17
PRDX5	0.62	0.98
PRDX4	0.18	0.99
PRDX3	0.45	0.65
PRDX2	0.48	0.41
SF3B3	0.81	0.85
SF3B2	2.86	0.94
SRM	0.25	1.09
RPA3	1.64	0.75
SF3B5	1.04	0.79
RBMX	0.86	0.92
IQGAP1	1.74	1.62
YWHAZ	3.42	1.84
DRG1	1.01	1.02
EIF5B	1.02	0.84
M6PRBP1	1.06	0.75
PFKP	3.67	3.44
HSPD1	1.61	0.62
YWHAH	1.60	1.95
YWHAB	2.34	1.09
EPRS	0.80	0.9
CCT6A	0.77	0.75
YWHAG	3.14	1.02
YWHAE	0.96	0.95

COPA	0.52	0.38
MAT2A	0.91	1.1
ANXA6	2.36	1.49
COPE	1.22	0.55
VCL	10.33	5.48
WARS	1.36	2.99
VCP	2.07	1.37
LOC643576	1.00	1.75
DYNC1H1	1.15	2.07
CALD1	9.00	4.19
DDX21	0.83	1.13
AHCY	0.11	1.84
HN1L	1.29	1.4
NSUN2	0.84	1.04
GSTP1	2.55	1.19
PDCD6	0.66	0.85
ILF3	1.00	0.67
TARS	0.28	2.54
TUFM	1.09	0.54
FKBP10	1.19	1.03
CKB	1.24	2.29
RPS4X	0.30	0.97
TPI1	0.49	0.29
TXNDC5	1.57	1.01
SNRNP200	0.40	0.52
SUGT1	0.95	0.81
CALM1	7.15	1.03
UBE2I	0.87	0.92
PARK7	1.09	1.85
DNMT1	0.59	1.13
MARCKS	1.36	0.16
HNRNPUL1	1.11	1.31
GLRX5	1.15	0.66
GLO1	2.03	1.28
TAGLN2	0.99	0.66
MAPRE1	0.72	1.21
LUC7L2	0.47	0.66

IARS	1.16	1
TRIM28	2.24	2.98
GPI	1.03	1.21
IDH2	0.17	0.33
IDH1	1.55	1.37
PRMT1	1.03	1.05
PRMT5	1.35	1.11
RPL10	2.10	1.76
RPL11	4.38	1.28
RPL13	0.28	1.36
RPL18	0.90	1.15
SHMT2	1.01	0.89
GMPS	0.36	0.46
DNAJA2	0.53	1.09
GOT1	1.76	1.21
ATIC	1.02	0.79
SNRPD1	1.16	0.82
FUBP3	0.88	1.03
PTPN11	0.31	0.99
RBBP7	3.55	0.45
ARCN1	1.35	0.87
OXSR1	0.60	0.77
KPNA4	2.57	0.97
KPNA2	2.68	1.34
COPB1	1.04	0.79
COPB2	0.56	0.81
LOC652826	0.84	1.05
ENAH	0.12	0.73
GAPDH	0.31	0.48
SMU1	0.41	0.47
MATR3	2.03	0.63
XRCC5	1.01	0.98
XRCC6	1.01	0.99
LOC645619	1.11	1.55
HSPH1	1.00	0.56
ABCF1	26.92	0.96
NONO	0.34	1

AHNAK	1.06	0.51
BASP1	10.28	2.3
NARS	0.88	1.71
YARS	0.62	0.92
LSM3	0.82	0.94
UGP2	5.37	2.65
RPS3A	0.23	1.02
PGK1	0.54	0.57
UMPS	0.83	0.9
EIF3I	0.32	0.8
ERP29	1.03	0.98
MTAP	1.25	1.16
PARP1	0.35	0.96
ENY2	1.85	1.11
TUBB3	0.80	0.64
SFPQ	1.15	0.96
RSL1D1	0.55	0.68
UBA3	0.38	0.96
UBA1	0.93	0.7
SH3BGRL3	0.98	0.52
UBE2N	1.01	0.94
SLC3A2	3.19	1.65
UBE2C	1.54	0.85
BCCIP	1.92	1.08
PRPF19	2.01	0.78
AGFG1	1.10	1.24
ASNA1	0.68	0.93
ACTC1	33.11	9.51
RPL18A	0.36	1.9
RPS15A	0.65	1.36
RPS7	2.52	1.39
RPS6	2.89	1.09
RPS5	3.75	0.95
RPS3	0.30	1.11
RPS2	0.99	1.04
KRT8	0.12	0.42
BCAS2	0.88	0.84

RPS9	0.05	1.21
RPS8	0.88	1.02
GNB2L1	0.23	2.01
RBM8A	0.24	0.58
TALDO1	1.18	1.91
GMFB	2.52	1.39
PSMA3	0.28	0.99
PSMA1	0.76	1.12
PSMA6	0.07	1.24
PSMA5	1.03	1.09
MSH2	0.94	1.62
MARCKSL1	1.13	0.12
RPS27	4.27	1.13
RPS24	1.06	1.01
RPS23	0.60	1.09
RPS20	2.25	0.99
RPS21	0.44	1.4
SF3B1	1.72	0.59
CARHSP1	5.73	1.13
WBP11	1.03	1.46
USP5	0.83	0.82
GSTO1	0.63	0.89
PRDX1	2.33	0.64
AKR1B1	0.52	0.62
USP7	1.96	1.05
UCHL1	2.78	2.67
FSCN1	0.21	1.54
ASNS	0.77	2.46
WDR12	2.21	0.75
PPIB	0.31	1.02
EIF2S2	0.51	1.02
PPP2R1A	3.73	0.99
VARS	1.81	0.92
MAGOHB	1.47	0.25
AIMP2	0.23	0.96
DDX19A	1.51	0.91
CYCS	0.90	1

AIMP1	1.11	1.01
CORO1B	0.78	1.4
MDH1	0.87	1.33
LTA4H	0.70	1.27
NAP1L1	1.17	0.59
RPL27	0.23	1.49
RPL26	1.03	1
TLN1	2.20	0.81
APEX1	1.01	2
CCBL2	0.81	0.67
HNRNPA2B1	1.14	0.46
HMGCS1	1.24	1.04
ZYX	5.07	1.06
DPP3	3.41	1.24
PCNA	0.22	0.81
ANXA2	0.96	0.59
ANXA5	3.29	1.99
HSPB1	0.08	0.13
MYBBP1A	0.55	1.21
MCM7	0.61	0.74
MCM6	0.40	0.75
MCM5	1.08	0.94
MCM4	0.98	0.98
MCM3	0.85	0.98
MCM2	0.74	1.01
FLNA	4.81	3.6
ALDOA	0.41	1.07
TAGLN	2.52	3.61
PSAT1	0.53	1.25
SFRS7	0.38	0.73
KRT19	0.88	1.85
EIF4A2	0.31	0.36
ILF2	0.82	0.57
YWHAQ	6.93	0.55
LRPPRC	0.51	0.92
DARS	0.80	0.96
NME1-NME2	0.10	1.76

OAT	0.34	1.4
DHX15	0.49	0.86
HIBADH	0.98	0.78
S100A10	2.23	1.24
S100A13	1.08	0.53
RPL22L1	0.72	0.76
XPOT	0.24	0.82
DDX39	0.87	0.96
PFKM	1.38	0.53
HSP90AB1	3.22	1.78
CRABP2	0.29	0.2
GOT2	1.25	1.13
LOC654188	0.32	0.83
PTBP1	0.88	1.01
THOC4	0.59	0.55
PFAS	2.94	2.25
NME1	1.66	0.9
DDX3X	1.27	0.98
C20orf27	1.06	1.04
P4HB	3.90	2.51
HK1	0.56	1.02
NAE1	1.12	0.91
SERPINB9	1.60	5.18
PELP1	1.87	1
PA2G4	0.21	0.96
CSNK2A1	3.65	0.51
FDPS	0.68	0.45
H2AFV	0.95	0.8
PTMA	3.18	0.92
PPP2CA	1.46	1.01
EEF1G	0.31	2.15
EIF4G1	0.41	0.97
H2AFX	2.52	0.93
DDX5	0.91	0.85
DDX6	5.68	1.08
TMEM189-UBE	0.85	0.88
DDX1	2.68	1.15

EIF4G2	0.12	1.05
EEF1D	1.06	2.37
PRKCI	1.26	1.21
STMN1	1.05	0.51
RPL8	2.52	1.3
RPL9	0.45	1.12
RPL6	0.94	1.38
PABPC1	0.21	1.03
RPL4	0.30	1.25
RPL5	1.66	1.03
PCMT1	0.11	1.09
RPL3	1.44	1.27
FEN1	1.02	0.75
UBE2L3	1.17	1.18
CLTC	0.46	0.7
LSM8	3.08	0.86
CSDA	2.50	0.85
CDV3	1.09	1.13
TUBA1B	0.21	0.92
CAP1	2.00	0.9
PCBP2	0.92	0.97
PPP1R12A	1.04	0.87
PCBP1	0.57	1.46
NPEPPS	0.87	1
NACA	0.61	1.45
CAB39	0.37	0.96
KIAA0368	0.34	1.52
ARPC2	1.00	1.32
PGM1	1.24	0.5
PSME3	0.72	0.98
DAG1	1.69	1.46
RHOA	0.28	1
HADH	1.55	0.88
STAT1	1.23	0.97
CARS	0.75	2.6
PAK1	2.24	1.07
OLA1	1.08	0.96

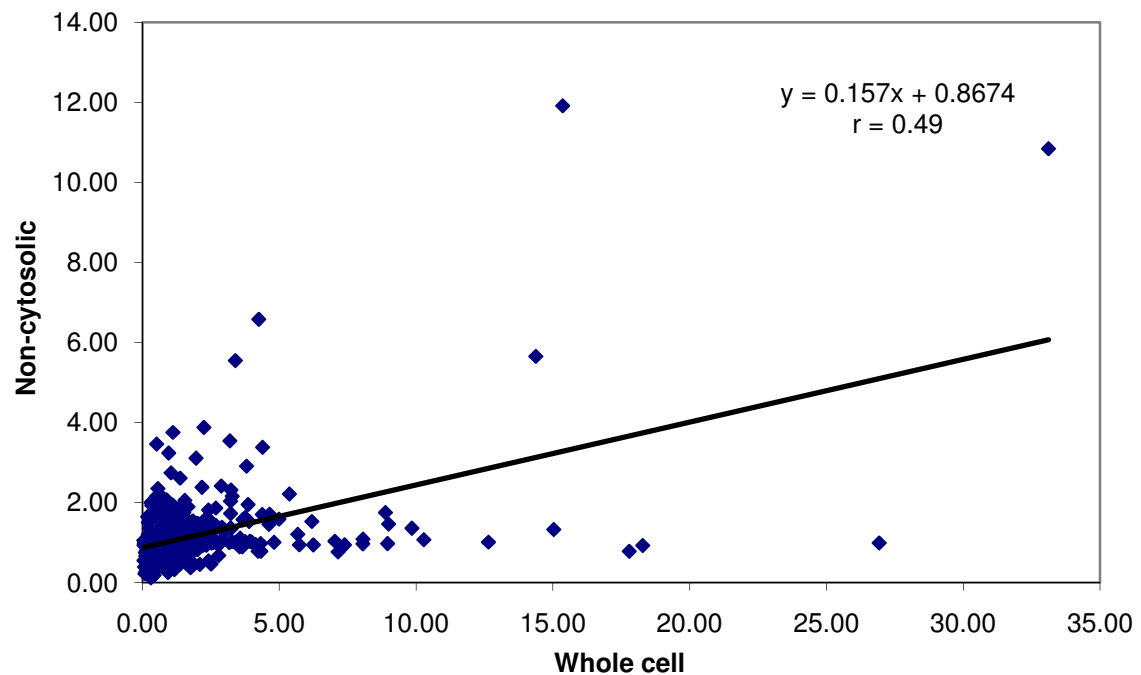
BAT3	1.02	0.79
IPO9	1.41	0.7
IPO7	3.99	0.62
IPO5	1.79	1.33
CSNK2B	1.27	1.09
PKM2	1.89	0.72
RAD23B	1.03	0.99
USP14	0.82	1.17
SNX2	0.23	0.92
SNRPB	0.30	0.74
HNRNPH1	0.30	0.62
DIABLO	0.98	0.7
HNRNPH3	0.10	0.76
NES	4.62	0.97
TNPO3	0.96	0.71
RBM12	0.27	0.92
SNRPF	0.39	0.89
HNRNPR	0.44	0.84
HNRNPU	1.02	0.57
HSP90AA1	0.30	0.89
HNRNPK	0.39	0.74
FASN	0.66	0.72
HNRNPM	0.81	0.91
RPL7	1.11	1.83
NP	1.00	1.53
HNRNPC	0.34	0.59
HNRNPD	0.36	0.72
BOLA2B	1.37	1.02
HELLS	0.35	1.1
HDLBP	1.38	1.04
LOC441246	0.87	1.06
RCC2	3.28	2.29
ERP44	0.72	1.04
USO1	0.74	1.28
DDB1	0.30	0.59
ADH5	2.54	1.43
PSPH	0.92	1.05

OTUB1	0.58	1.08
CARM1	4.51	0.95
PSMB7	1.69	1.01
CSE1L	0.34	1.02
PSMB5	1.35	1.14
PSMB2	0.18	1.18
PSMB1	2.55	1.04
FBL	0.93	0.46
RPS13	2.28	1.05
KARS	1.13	1.05
RPS11	0.88	1.26
RPS10	5.68	0.98
RPS17	0.89	1.07
RPS16	0.90	1.03
RPS14	0.51	1.02
SSRP1	0.10	1.91
RPS19	1.03	1.02
RPS18	1.00	0.96
MSN	0.49	0.77
HSPA1A	0.31	2.35
RPL30	1.63	1.09
CACYBP	0.56	0.47
U2AF2	1.03	0.9
LOC653888	0.79	1.02
TXN	3.88	1.73
MACF1	6.29	1.11
CRABP1	1.48	0.95
CAND1	1.06	0.71
PRPS1	0.27	0.34
SFRS3	0.74	1.06
SFRS1	1.63	0.59
C21orf33	1.03	0.8
APOA1BP	1.10	0.71
LDHA	3.96	7.59
LDHB	0.17	0.15
PLS3	1.00	1.57
PDIA6	2.35	0.97

PDIA4	0.99	0.56
PDIA3	2.41	1.52
CFL1	2.20	0.63
LOC143244	0.19	1.25
NPM1	8.88	0.7
DAZAP1	0.97	0.72
ACTN1	4.23	2.13
RPL38	0.99	0.86
ACTN4	7.03	1.9
AARS	2.37	1.49
PDCD6IP	0.73	0.95
EZR	1.11	4.21
RPL31	0.98	1.14
G3BP1	0.71	1.25
SFRS11	0.18	0.69
G3BP2	0.94	1.17
DNM1L	1.01	0.59
SERPINH1	1.60	0.99
ALDH9A1	1.23	0.88

Gene Symbol	Whole Cell iTRAQ Ratio ESC/ECC	Non-cytosolic iTRAQ Ratio ESC/ECC
UTF1	15.36	11.91
ACTC1	33.11	10.84
COL11A1	4.25	6.58
AASS	14.37	5.65
DNMT3B	3.39	5.55
TRIM28	2.24	3.87
EZR	1.11	3.75
SLC3A2	3.19	3.54
COPA	0.52	3.46
L1TD1	4.39	3.38
NMT1	0.95	3.24
AKAP12	1.96	3.11
SLC2A1	3.80	2.91
COPB1	1.04	2.74
LAMB1	1.38	2.61
GJA1	2.87	2.41
SRP72	2.17	2.38
COPB2	0.56	2.35
MYH10	3.23	2.31
UGP2	5.37	2.21
FUBP1	0.52	2.16
RCC2	3.28	2.16
HNRPDL	0.76	2.11
CPSF6	0.47	2.11
PTBP1	0.88	2.06
KRT19	0.88	2.06
IDH1	1.55	2.05
SR140	3.22	2.03
RPS3	0.30	2.00
RPL38	0.99	1.95
CANX	3.86	1.95
LOC645619	1.11	1.93
RPS15A	0.65	1.92
OAT	0.34	1.92

Correlation Between iTRAQ ratios
(Whole cell vs Non-Cytosolic samples)



HNRNPM	0.81	1.90
RPL5	1.66	1.89
KPNA2	2.68	1.86
NCKAP1	0.59	1.86
HK1	0.56	1.86
MDN1	1.33	1.85
BAT3	1.02	1.84
FKBP3	1.28	1.82
PDIA3	2.41	1.81
RBMX	0.86	1.80
LMAN2	1.27	1.80
LASP1	1.52	1.75
NPM1	8.88	1.75
LRRC47	1.05	1.74
HSP90AB1	3.22	1.72
EEF1D	1.06	1.71
TJP1	4.64	1.71
EIF4A1	0.68	1.71
RPL11	4.38	1.70
G3BP1	0.71	1.69
DDX3X	1.27	1.67
TMED10	0.18	1.65
RPL9	0.45	1.64
RPS5	3.75	1.62
COPG	0.95	1.60
EEF1A1	1.59	1.59
HMGA1	4.99	1.59
CTNND1	1.01	1.59
PFKP	3.67	1.57
RPS20	2.25	1.55
RPS16	0.90	1.54
HSPA5	2.38	1.54
BANF1	1.83	1.53
ENY2	1.85	1.53
COPE	1.22	1.53
SLC7A5	6.18	1.53
P4HB	3.90	1.52

RPS7	2.52	1.51
HMGB3	1.70	1.51
PABPC1	0.21	1.50
RPS13	2.28	1.49
HSPA9	2.34	1.49
RPL10A	1.96	1.48
MATR3	2.03	1.47
CALD1	9.00	1.46
SFPQ	1.15	1.46
XRCC6	1.01	1.46
NES	4.62	1.45
DDX1	2.68	1.43
HYOU1	2.07	1.41
ADSS	1.56	1.40
RTN4	2.06	1.39
CD151	1.11	1.39
RRBP1	2.90	1.38
RPS2	0.99	1.37
HNRNPA0	3.22	1.36
MCM7	0.61	1.36
RPL7	1.11	1.36
PDHA1	0.24	1.36
KHDRBS1	9.84	1.36
CAPZA1	3.24	1.35
HNRNPUL1	1.11	1.34
RPS8	0.88	1.34
WARS	1.36	1.34
CD9	0.64	1.34
GOT2	1.25	1.33
LOC645441	15.03	1.33
PLEC1	1.93	1.32
MKI67	0.79	1.32
RPL24	1.01	1.32
DARS	0.80	1.32
PSMD2	1.03	1.30
TMPO	1.36	1.30
PSMB1	2.55	1.29

HDLBP	1.38	1.28
GOLT1B	0.54	1.27
CRKL	0.56	1.27
PSMD3	2.99	1.27
S100A10	2.23	1.26
HUWE1	0.85	1.25
KIAA0368	0.34	1.25
RPS18	1.00	1.25
NUP214	1.07	1.24
HNRNPF	1.05	1.24
EPRS	0.80	1.24
MSH2	0.94	1.24
MAT2A	0.91	1.24
RPL6	0.94	1.23
DYNC1H1	1.15	1.23
RPL3	1.44	1.23
MARS	0.93	1.22
RPS10	5.68	1.20
LOC401206	0.21	1.20
AP2A1	1.54	1.19
ZNF207	1.19	1.19
MAP4	1.69	1.19
PSMD6	1.77	1.19
RPLP1	0.75	1.19
RPL18	0.90	1.19
CNOT1	0.97	1.18
NACA	0.61	1.17
IQGAP1	1.74	1.17
C14orf166	0.68	1.17
XRCC5	1.01	1.16
RPS14	0.51	1.16
EIF3B	0.59	1.15
LMNB1	0.82	1.15
PSMB5	1.35	1.15
PNN	1.03	1.15
TUFM	1.09	1.15
NOLC1	1.13	1.14

GFPT1	0.41	1.14
RPL28	0.67	1.13
CYC1	0.67	1.13
RAVER1	2.56	1.13
RPL31	0.98	1.13
PRDX6	0.43	1.12
ACLY	1.76	1.12
FKBP10	1.19	1.12
TARS	0.28	1.12
PSMC1	0.47	1.11
TEX10	1.18	1.11
TUBA1C	0.14	1.11
CYB5A	1.15	1.11
KPNB1	0.92	1.11
HELLS	0.35	1.11
ADD1	3.57	1.11
LOC441246	0.87	1.10
PACSIN3	1.02	1.10
GCN1L1	1.03	1.10
ATP5B	1.13	1.10
SCAMP2	1.09	1.10
THY1	0.54	1.10
PSMD13	0.64	1.09
RPL23A	1.33	1.09
EIF3I	0.32	1.09
C22orf28	0.98	1.09
RPS17	0.89	1.09
EIF2S3	0.49	1.09
HNRNPA1	8.06	1.09
UMPS	0.83	1.08
CCT6A	0.77	1.08
SND1	1.45	1.08
CDC2	1.10	1.08
RPL30	1.63	1.08
ABCF2	1.08	1.07
SERPINH1	1.60	1.07
PRMT1	1.03	1.07

BASP1	10.28	1.07
NCL	0.62	1.07
DNMT3A	0.81	1.07
ATP6V1A	1.12	1.06
HSPA1A	0.31	1.06
RPS11	0.88	1.06
PDIA6	2.35	1.06
IARS	1.16	1.06
NME1-NME2	0.10	1.06
RPL21	2.91	1.06
ALDH18A1	1.10	1.06
RPS4X	0.30	1.06
TOP1	0.86	1.05
DDX21	0.83	1.05
RBM4	1.45	1.05
LOC644166	0.19	1.05
EIF4G1	0.41	1.05
RPS9	0.05	1.05
HNRNPAB	1.86	1.05
RPS19	1.03	1.05
RPS6	2.89	1.05
APEX1	1.01	1.05
TOP2A	1.08	1.05
IGF2BP3	0.97	1.05
PSMD11	0.61	1.04
CAD	0.92	1.04
UQCRC1	1.35	1.04
NUP160	0.74	1.04
TTN	0.96	1.04
NUDC	0.70	1.04
TXNDC5	1.57	1.04
RPL7A	0.42	1.04
EFTUD2	0.44	1.04
LOC652826	0.84	1.04
PSMC3	0.70	1.04
SMU1	0.41	1.04
EIF3E	0.77	1.03

TRIM71	0.81	1.03
DDX5	0.91	1.03
ACTN4	7.03	1.03
RPL19	0.97	1.03
KHSRP	0.19	1.03
LARS	0.67	1.03
GDI2	1.16	1.03
AP2B1	1.17	1.03
RPLP2	3.93	1.03
RBPMS	1.85	1.03
CCT7	3.60	1.03
VIM	1.13	1.03
VAPA	1.95	1.03
SYNCRIP	3.27	1.02
VCP	2.07	1.02
LRRC59	0.52	1.02
CHERP	0.39	1.02
ARPC4	0.42	1.02
SF3B2	2.86	1.02
SNRPD1	1.16	1.02
HNRNPK	0.39	1.02
KARS	1.13	1.02
MAP1S	3.76	1.02
COX2	0.24	1.02
PSMC2	1.85	1.02
MPZL1	0.82	1.02
TMED9	0.72	1.02
RPL27	0.23	1.02
COX4I1	2.62	1.01
SF3B1	1.72	1.01
C1QBP	1.14	1.01
PELP1	1.87	1.01
HNRNPU	1.02	1.01
IPO7	3.99	1.01
XPO1	0.95	1.01
TKT	1.06	1.01
MAGOHB	1.47	1.01

EEF2	12.64	1.01
PRPF8	0.75	1.01
MCM3	0.85	1.01
CALR	0.91	1.01
CLTC	0.46	1.01
ARCN1	1.35	1.00
HSPA8	3.39	1.00
BAT1	0.11	1.00
PSMA1	0.76	1.00
TLN1	2.20	1.00
FLNA	4.81	1.00
RPLP0	1.67	1.00
CKAP5	0.96	1.00
HNRNPC	0.34	1.00
TUBB	1.01	1.00
EIF2A	0.62	1.00
KPNA4	2.57	1.00
RPL18A	0.36	1.00
FASN	0.66	1.00
PRDX3	0.45	1.00
RPS24	1.06	1.00
BCAP31	0.44	1.00
TPT1	1.06	1.00
U2AF2	1.03	1.00
LOC643752	3.17	1.00
ATP5A1	1.01	1.00
HDAC2	1.09	0.99
CSE1L	0.34	0.99
C21orf70	1.51	0.99
SFRS13A	1.08	0.99
CS	0.92	0.99
RPL8	2.52	0.99
PMPCB	1.19	0.99
YWHAE	0.96	0.99
RPS3A	0.23	0.99
DAZAP1	0.97	0.99
TMEM33	0.26	0.99

SEC63	1.34	0.99
ABCF1	26.92	0.99
PPP2R1A	3.73	0.99
NUDT21	0.27	0.99
KTN1	0.95	0.99
RPS23	0.60	0.99
HNRNPH3	0.10	0.99
HSP90B1	2.71	0.99
PSMC5	0.07	0.99
RPL4	0.30	0.99
RPL32	0.11	0.98
TNPO3	0.96	0.98
IMPDH2	1.14	0.98
PHB2	0.95	0.98
MCM6	0.40	0.98
METAP2	0.43	0.98
HNRNPA3	4.31	0.98
TCP1	0.34	0.98
ATP5F1	0.35	0.98
BSG	0.83	0.98
HNRNPL	0.87	0.98
DBN1	8.96	0.97
PKM2	1.89	0.97
ATP6V1B2	1.33	0.97
PA2G4	0.21	0.97
ATP1A1	0.87	0.97
SERBP1	8.05	0.97
SF3B3	0.81	0.97
HNRNPR	0.44	0.96
CYB5B	1.55	0.96
SF3B5	1.04	0.96
HADHA	1.20	0.96
ARPC2	1.00	0.96
HNRNPD	0.36	0.96
SMARCA5	0.06	0.96
IMMT	1.01	0.96
FLOT2	1.13	0.96

ERP29	1.03	0.96
NDUFB10	0.47	0.96
DPPA4	1.80	0.96
FLNB	2.81	0.96
DNAJC10	0.86	0.96
EIF4G2	0.12	0.96
LOC649821	0.22	0.96
GPS1	0.63	0.95
RAC1	1.03	0.95
TOP2B	4.12	0.95
LUC7L2	0.47	0.95
HSD17B4	0.70	0.95
ETFA	0.92	0.95
SHMT2	1.01	0.95
FAM162A	1.69	0.95
HSP90AA1	0.30	0.95
NUP155	1.52	0.95
THRAP3	0.77	0.95
FLOT1	1.81	0.95
LOC143244	0.19	0.95
EIF4A3	1.07	0.95
NOP56	1.02	0.95
GLUD1	1.14	0.95
ACACA	7.39	0.94
RRP1B	1.27	0.94
MAP1B	0.98	0.94
CDC42	6.24	0.94
PSMA6	0.07	0.94
DDOST	0.37	0.94
HNRNPA2B1	1.14	0.94
CARHSP1	5.73	0.94
CCT2	1.26	0.94
MTHFD1	1.90	0.94
VDAC1	0.50	0.94
ANXA2	0.96	0.93
PSAT1	0.53	0.93
SMARCC1	1.18	0.93

RPL13	0.28	0.93
GRPEL1	2.06	0.93
PRDX1	2.33	0.93
PRDX5	0.62	0.93
STAT1	1.23	0.93
ATP5L	0.95	0.92
PSIP1	18.28	0.92
PHGDH	0.06	0.92
EPB41L2	1.10	0.92
CFL1	2.20	0.92
TIMM44	1.06	0.92
NDUFS3	0.67	0.92
GLG1	0.68	0.92
FXR1	0.77	0.92
GLS	1.57	0.92
PPP1R12A	1.04	0.92
RPS12	0.38	0.91
NOC2L	0.49	0.91
MLEC	0.85	0.91
SRPRB	0.98	0.91
FARSB	0.29	0.91
ILF2	0.82	0.91
PSPC1	0.96	0.90
RBM8A	0.24	0.90
C21orf33	1.03	0.90
ENO1	0.98	0.90
FDFT1	0.69	0.90
WBP11	1.03	0.90
EMD	0.75	0.90
LRPPRC	0.51	0.90
UQCRC2	0.63	0.90
DLD	0.12	0.90
CSNK2A1	3.65	0.89
FADS2	1.21	0.89
RBBP7	3.55	0.89
PGRMC1	0.78	0.89
FUBP3	0.88	0.89

CCT5	1.82	0.88
CHD4	0.91	0.88
GNB1	1.92	0.88
PFKM	1.38	0.88
CORO1C	0.45	0.88
CKAP4	0.94	0.88
GNB2L1	0.23	0.88
CYB5R3	2.01	0.88
TBL3	1.33	0.87
UBE2I	0.87	0.87
NONO	0.34	0.87
CSDE1	0.59	0.87
LRPAP1	0.75	0.87
RPN2	1.14	0.87
WHSC2	0.26	0.87
SF3A3	0.39	0.86
MYBBP1A	0.55	0.86
RBM25	1.01	0.86
API5	1.04	0.86
VAPB	0.77	0.86
LRP1	1.33	0.86
THOC4	0.59	0.86
PDHB	1.00	0.86
DHX15	0.49	0.86
PEX14	1.00	0.86
BCAS2	0.88	0.86
HIBADH	0.98	0.86
NOP58	0.97	0.86
NAP1L1	1.17	0.86
RTN3	1.07	0.85
TUBA1B	0.21	0.85
POLR1C	1.34	0.85
TMEM205	1.31	0.84
CCT3	1.00	0.83
TPR	1.03	0.83
DNM1L	1.01	0.83
SNRPA1	0.75	0.83

RANBP2	0.89	0.83
OPA1	0.91	0.83
ERP44	0.72	0.83
DDX39	0.87	0.82
ALDH9A1	1.23	0.82
P4HA1	0.35	0.82
LPCAT1	0.80	0.82
PRPF19	2.01	0.82
RCN1	0.99	0.82
ATP1B3	0.27	0.81
CNPY3	0.43	0.81
HSPD1	1.61	0.81
HN1L	1.29	0.81
DHCR24	0.84	0.80
GART	0.77	0.80
DAG1	1.69	0.80
NHP2L1	0.15	0.79
EIF4A2	0.31	0.79
RECQL	0.76	0.78
ACTN1	4.23	0.78
CCT4	4.33	0.78
WDR3	17.79	0.78
MAPRE1	0.72	0.78
TPP2	1.08	0.78
LONP1	0.85	0.78
GCS1	0.73	0.78
RALY	0.86	0.78
GTF2I	0.98	0.77
MYL6	1.15	0.77
SMC3	0.79	0.77
NCAPD2	0.60	0.77
TXNDC12	1.82	0.77
CALM1	7.15	0.77
PCBP2	0.92	0.77
DNAJA1	0.32	0.77
EXOSC4	0.99	0.77
SMARCA4	0.49	0.76

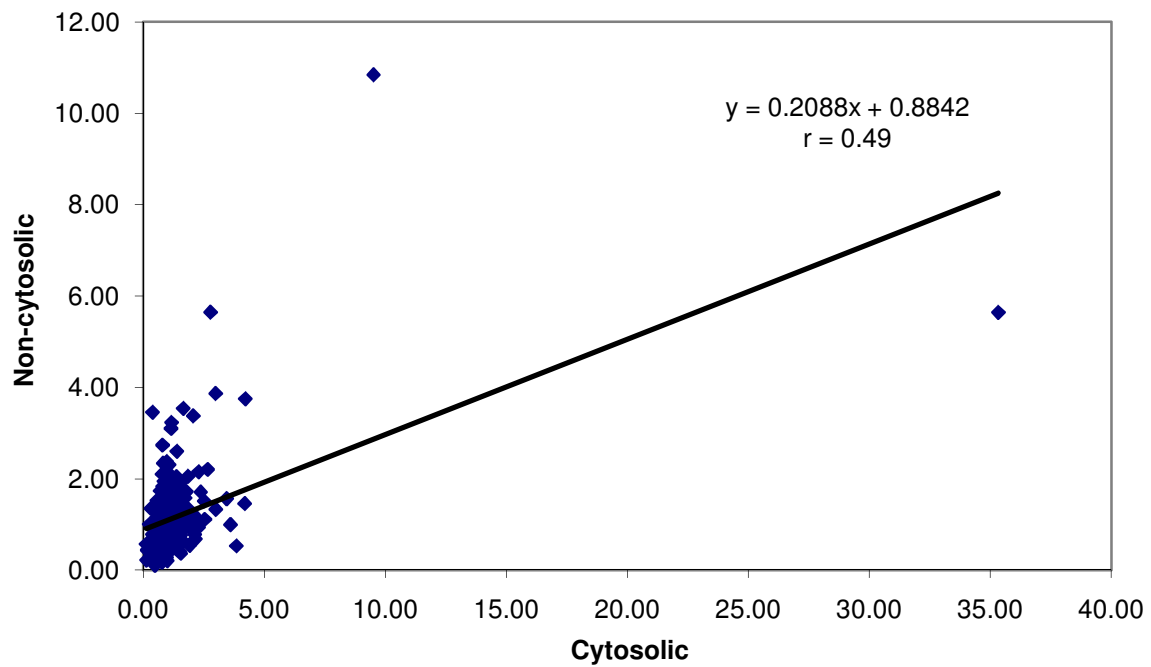
VPS29	0.57	0.76
ACIN1	1.05	0.76
DDB1	0.30	0.76
SLC25A13	0.86	0.75
SPTAN1	1.02	0.75
DEK	0.10	0.75
KRT8	0.12	0.75
SNRNP200	0.40	0.75
GTF3C3	0.41	0.74
PRKCSH	0.46	0.73
SPTBN1	0.97	0.73
C14orf156	1.34	0.72
NOP2	0.48	0.72
FEN1	1.02	0.72
PHB	1.04	0.72
MFGE8	0.42	0.72
ERLIN2	1.27	0.71
PPIB	0.31	0.71
ASNA1	0.68	0.71
CACYBP	0.56	0.70
DHX9	0.87	0.69
EEF1G	0.31	0.69
IGF2BP1	0.99	0.69
GLT25D1	1.54	0.69
SLC16A1	2.78	0.68
CAND1	1.06	0.68
DIABLO	0.98	0.68
PLS3	1.00	0.67
EPB41	1.69	0.67
ILF3	1.00	0.67
HNRNPH1	0.30	0.66
SLC25A5	0.25	0.66
LOC653604	0.11	0.66
RSL1D1	0.55	0.66
LMNA	0.87	0.66
CYCS	0.90	0.66
LOC653888	0.79	0.65

ADAR	0.69	0.65
AIMP2	0.23	0.64
CORO1B	0.78	0.64
40058	0.93	0.63
DDX47	0.63	0.63
CNN2	1.35	0.61
PDIA4	0.99	0.61
TPM3	1.19	0.61
LIN28	1.06	0.61
RPN1	0.92	0.61
DPYSL2	0.24	0.60
KRT18	0.22	0.60
CTSC	0.48	0.59
MARCKSL1	1.13	0.58
PRPS1	0.27	0.57
ESYT1	0.61	0.56
RPL22L1	0.72	0.56
MIF	0.05	0.55
MTCH2	0.92	0.55
LMNB2	0.81	0.55
FBL	0.93	0.55
ALDOA	0.41	0.55
SSRP1	0.10	0.55
DDX17	0.12	0.55
MDH2	2.41	0.54
HMGB1	1.77	0.54
MSN	0.49	0.53
HIST1H1B	0.96	0.53
RAN	0.12	0.53
PRKDC	0.34	0.53
ATP2A2	0.93	0.52
GANAB	0.90	0.51
CSTB	0.16	0.50
DNMT1	0.59	0.47
HMGB2	1.02	0.47
CSDA	2.50	0.46
SPARC	2.09	0.46

MARCKS	1.36	0.45
BZW1	0.61	0.44
ELAVL1	0.67	0.44
LDHB	0.17	0.44
H2AFV	0.95	0.43
TFRC	1.12	0.43
ATP5O	0.59	0.43
NDUFAB1	0.81	0.42
HIST2H4B	0.89	0.42
AHNAK	1.06	0.41
SFRS3	0.74	0.40
PTPLAD1	0.91	0.39
HSPE1	0.07	0.39
TMEM43	0.30	0.38
HADHB	0.54	0.38
FSCN1	0.21	0.38
PGK1	0.54	0.37
TP53I11	1.76	0.37
RAB10	0.82	0.35
H2AFY2	0.40	0.33
PODXL	1.16	0.32
MGST1	0.44	0.29
PARP1	0.35	0.28
FKBP4	0.13	0.27
IDH2	0.17	0.27
MYH9	0.94	0.26
TECR	0.92	0.25
SLC2A3	0.13	0.25
LOC654188	0.32	0.23
HSPB1	0.08	0.22
PRDX4	0.18	0.21
CALU	0.43	0.18
GAPDH	0.31	0.12

Gene Symbol	Cytosolic iTRAQ Ratio ESC/ECC	Non-cytosolic iTRAQ Ratio ESC/ECC
U2AF2	0.90	1.00
HSPA5	1.45	1.54
HSPA9	1.02	1.49
HSPA8	1.95	1.00
FKBP4	0.35	0.27
FKBP3	1.39	1.82
DBN1	0.98	0.97
ADD1	1.04	1.11
BASP1	2.30	1.07
NDUFAB1	0.28	0.42
CRKL	1.13	1.27
ZC3H18	0.51	0.99
DHX9	0.42	0.69
TCOF1	0.80	1.23
SFRS13A	0.83	0.99
HNRPDL	0.79	2.11
WHSC2	0.82	0.87
EIF2A	1.07	1.00
MRPS23	0.88	1.44
ACLY	1.32	1.12
CSR P2	0.90	0.65
YBX1	1.03	1.01
ATP6V1A	1.16	1.06
ELAVL1	1.11	0.44
HSP90B1	1.45	0.99
GTF3C3	0.87	0.74
POLR1A	0.57	0.77
NHP2L1	0.91	0.79
GEMIN4	0.88	1.53
EDC4	0.81	1.04
TPT1	1.11	1.00
XPO1	1.00	1.01
RPL7A	1.07	1.04
XPO5	1.14	1.07

Correlation Between iTRAQ ratios
(Cytosolic vs noncytosolic samples)



CSDE1	0.90	0.87
CCT2	0.99	0.94
CCT3	0.67	0.83
CCT7	0.44	1.03
CCT4	1.02	0.78
CCT5	0.88	0.88
EFTUD2	0.92	1.04
LOC389435	1.20	1.00
DDX18	0.71	0.75
GTF2I	1.14	0.77
ETF1	1.47	1.46
GPS1	0.94	0.95
GDI2	1.75	1.03
GART	0.97	0.80
PSMD11	1.00	1.04
PSMD13	0.96	1.09
GPX1	0.95	0.81
WDR36	0.95	0.89
MYBBP1A	1.21	0.86
GFPT1	1.23	1.14
FLNB	2.17	0.96
EIF4A1	1.73	1.71
KRT19	1.85	2.06
KRT18	0.42	0.60
MYH10	1.07	2.31
GANAB	0.60	0.51
PELP1	1.00	1.01
PRKCSH	0.82	0.73
AKAP12	1.15	3.11
CDC2	0.98	1.08
GLS	0.79	0.92
BRIX1	0.75	0.82
DDB1	0.59	0.76
COX4I1	0.83	1.01
LOC644166	0.98	1.05
HSPE1	0.93	0.39
MARS	1.04	1.22

RBM4	0.88	1.05
RPL23A	1.53	1.09
EIF4G2	1.05	0.96
EEF1A1	1.72	1.59
HMGB1	3.84	0.54
PSMD6	0.97	1.19
PSMD3	0.96	1.27
PSMD2	0.57	1.30
CPSF6	0.78	2.11
PLEC1	1.11	1.32
HIST2H4B	1.52	0.42
EIF2S3	0.96	1.09
CAD	0.95	1.04
SMARCC1	0.89	0.93
DDX17	0.55	0.55
NMT1	1.16	3.24
PMPCB	0.80	0.99
AASS	2.77	5.65
VPS29	1.51	0.76
NUDC	0.64	1.04
IMPDH2	0.65	0.98
CSE1L	1.02	0.99
PSMC1	0.98	1.11
PSMC2	0.95	1.02
MAGEA4	35.32	5.64
PSMC5	0.96	0.99
EEF1A2	0.75	0.90
CTSC	1.02	0.59
HEATR2	0.96	1.04
RTN4	1.05	1.39
NOLC1	0.89	1.14
KPNB1	1.01	1.11
RTN3	0.86	0.85
FXR1	0.85	0.92
CALR	1.69	1.01
CALU	0.77	0.18
RBMX	0.92	1.80

NCL	0.59	1.07
NAP1L1	0.59	0.86
BZW1	1.02	0.44
EEF2	2.06	1.01
CHERP	0.76	1.02
TRMT112	0.92	1.12
HUWE1	0.91	1.25
MIF	1.49	0.55
PRPF8	0.85	1.01
LRRC47	1.09	1.74
EIF3I	0.80	1.09
EIF3M	1.31	1.97
HYOU1	1.21	1.41
RAN	0.86	0.53
EIF3B	0.93	1.15
ARHGEF2	0.74	0.65
EIF3E	0.99	1.03
CARHSP1	1.13	0.94
LOC401206	0.99	1.20
DPY30	1.05	1.16
DNAJA1	0.92	0.77
TPR	0.94	0.83
PHGDH	0.66	0.92
ATP6V1B2	0.68	0.97
SYNCRIP	1.01	1.02
VAT1	0.96	1.66
PSMC3	0.64	1.04
SNRPD1	0.82	1.02
VIM	0.60	1.03
C14orf166	1.05	1.17
SPTAN1	1.13	0.75
FUBP1	0.99	2.16
KHDRBS1	0.32	1.36
LAMB1	1.39	2.61
CCAR1	0.72	1.43
U2AF1	0.65	0.99
ADAR	0.84	0.65

KHSRP	0.74	1.03
MTA1	0.73	0.73
DDX54	0.97	0.97
EIF4A2	0.36	0.79
TKT	1.84	1.01
MSH2	1.62	1.24
L1TD1	2.06	3.38
WDR3	0.92	0.78
DPYSL2	0.64	0.60
POLR1C	0.80	0.85
IGFBP2	1.24	0.71
ABCF2	0.98	1.07
LARS	1.02	1.03
MTHFD1	2.27	0.94
GTPBP4	0.70	0.53
SPARC	0.52	0.46
TUBB	0.70	1.00
GTPBP1	1.06	1.19
MDN1	1.00	1.85
RBM8A	0.58	0.90
ADSS	1.01	1.40
RPLP2	1.08	1.03
RPLP1	1.73	1.19
RPLP0	1.08	1.00
TCERG1	0.99	0.83
C1QBP	0.92	1.01
RACGAP1	1.36	1.22
ATP5A1	1.39	1.00
TPM3	0.92	0.61
SNRPA1	0.73	0.83
HNRNPAB	1.00	1.05
HNRNPL	0.84	0.98
SRP72	0.96	2.38
PPP1R12A	0.87	0.92
ETFA	0.92	0.95
LIN28	0.60	0.61
CSTB	0.88	0.50

HNRNPA3	0.71	0.98
HNRNPA1	0.55	1.09
ENO1	1.65	0.90
CORO1B	1.40	0.64
SND1	1.08	1.08
RPS4X	0.97	1.06
IGF2BP3	0.86	1.05
NAT10	0.93	1.08
ATXN2L	0.94	0.93
SKIV2L2	1.01	1.02
TCP1	0.95	0.98
RPL10A	1.49	1.48
SF3B5	0.79	0.96
PRDX6	2.17	1.12
PRDX5	0.98	0.93
PRDX4	0.99	0.21
SF3B1	0.59	1.01
SF3B3	0.85	0.97
IQGAP1	1.62	1.17
PFKP	3.44	1.57
HSPD1	0.62	0.81
PFKM	0.53	0.88
EPRS	0.90	1.24
CCT6A	0.75	1.08
YWHAE	0.95	0.99
COPA	0.38	3.46
MAT2A	1.10	1.24
COPE	0.55	1.53
WARS	2.99	1.34
VCP	1.37	1.02
DYNC1H1	2.07	1.23
CALD1	4.19	1.46
DDX21	1.13	1.05
HN1L	1.40	0.81
TARS	2.54	1.12
SART1	0.59	0.81
TUFM	0.54	1.15

ACTG1	0.95	0.43
FKBP10	1.03	1.12
HNRNPA0	0.88	1.36
MYL6	1.55	0.77
IGF2BP1	0.69	0.69
CAPRIN1	0.91	0.94
TXNDC5	1.01	1.04
SNRNP200	0.52	0.75
CALM1	1.03	0.77
DNMT1	1.13	0.47
MARCKS	0.16	0.45
WDR61	1.04	0.71
MAPRE1	1.21	0.78
LUC7L2	0.66	0.95
TTN	1.21	1.04
IARS	1.00	1.06
TRIM28	2.98	3.87
PRPSAP2	0.90	1.16
IDH2	0.33	0.27
IDH1	1.37	2.05
PRMT1	1.05	1.07
SH3GLB2	1.02	1.44
RPL11	1.28	1.70
RPL13	1.36	0.93
RPL18	1.15	1.19
C21orf33	0.80	0.90
NME4	0.62	0.39
CNN2	1.34	0.61
FUBP3	1.03	0.89
RBBP7	0.45	0.89
ARCN1	0.87	1.00
KPNA4	0.97	1.00
LYAR	0.56	0.63
KPNA2	1.34	1.86
COPB1	0.79	2.74
COPB2	0.81	2.35
LOC652826	1.05	1.04

GAPDH	0.48	0.12
HIBADH	0.78	0.86
MATR3	0.63	1.47
SF3B2	0.94	1.02
XRCC5	0.98	1.16
XRCC6	0.99	1.46
LOC645619	1.55	1.93
ABCF1	0.96	0.99
NONO	1.00	0.87
AHNAK	0.51	0.41
RPS3A	1.02	0.99
RBM39	0.98	0.95
PGK1	0.57	0.37
GSPT2	1.05	0.86
FAM98A	1.28	1.53
UMPS	0.90	1.08
ERP29	0.98	0.96
PARP1	0.96	0.28
SFPQ	0.96	1.46
RSL1D1	0.68	0.66
PWP1	0.90	1.08
UBE2I	0.92	0.87
SLC3A2	1.65	3.54
SAFB2	0.87	0.84
ASNA1	0.93	0.71
ACTC1	9.51	10.84
RPL18A	1.90	1.00
RPS15A	1.36	1.92
RPS7	1.39	1.51
RPS6	1.09	1.05
RPS3	1.11	2.00
RPS2	1.04	1.37
KRT8	0.42	0.75
BCAS2	0.84	0.86
RPS9	1.21	1.05
RPS8	1.02	1.34
GNB2L1	2.01	0.88

LOC732337	1.01	0.94
SEC23A	1.20	1.31
STAT1	0.97	0.93
RPS14	1.02	1.16
PSMA1	1.12	1.00
PSMA6	1.24	0.94
THOC4	0.55	0.86
MARCKSL1	0.12	0.58
RPS24	1.01	1.00
RPS18	0.96	1.25
LOC653888	1.02	0.65
RPS20	0.99	1.55
PRDX3	0.65	1.00
C21orf70	1.13	0.99
WBP11	1.46	0.90
PRDX1	0.64	0.93
ARPC4	1.12	1.02
FSCN1	1.54	0.38
KIAA1967	0.51	1.02
FARSB	0.94	0.91
RPRD1B	0.83	0.72
PPIB	1.02	0.71
API5	0.83	0.86
PPP2R1A	0.99	0.99
TRIM71	1.07	1.03
CYFIP2	1.22	1.15
MAGOHB	0.25	1.01
AIMP2	0.96	0.64
CYCS	1.00	0.66
MDH2	0.51	0.54
MAP4	1.29	1.19
C22orf28	0.99	1.09
RPL24	1.04	1.32
RPL27	1.49	1.02
PARD6B	0.85	0.87
TLN1	0.81	1.00
APEX1	2.00	1.05

HNRNPA2B1	0.46	0.94
ANXA2	0.59	0.93
HSPB1	0.13	0.22
MCM7	0.74	1.36
MCM6	0.75	0.98
MCM3	0.98	1.01
FLNA	3.60	1.00
ALDOA	1.07	0.55
NUDT21	0.77	0.99
SAMHD1	0.91	0.97
PPP1CA	0.95	0.91
SFRS8	0.89	0.94
ENY2	1.11	1.53
PSAT1	1.25	0.93
BAT2D1	1.00	1.03
SHMT2	0.89	0.95
EIF4A3	0.97	0.95
ILF3	0.67	0.67
ILF2	0.57	0.91
LRPPRC	0.92	0.90
DARS	0.96	1.32
NME1-NME2	1.76	1.06
IK	0.76	0.84
OAT	1.40	1.92
DHX15	0.86	0.86
S100A10	1.24	1.26
UGP2	2.65	2.21
RPL22L1	0.76	0.56
DDX39	0.96	0.82
AHCYL2	0.92	1.21
HSP90AB1	1.78	1.72
GOT2	1.13	1.33
LOC654188	0.83	0.23
PTBP1	1.01	2.06
DDX3X	0.98	1.67
P4HB	2.51	1.52
HK1	1.02	1.86

RANGAP1	1.02	1.10
ILK	1.11	1.10
PA2G4	0.96	0.97
CSNK2A1	0.51	0.89
H2AFV	0.80	0.43
CIRH1A	0.83	1.21
EEF1G	2.15	0.69
EIF4G1	0.97	1.05
RPS5	0.95	1.62
CD2AP	1.56	1.45
DDX5	0.85	1.03
DDX1	1.15	1.43
MTA3	0.94	0.75
EEF1D	2.37	1.71
RPL8	1.30	0.99
RPL9	1.12	1.64
RPL6	1.38	1.23
PABPC1	1.03	1.50
RPL4	1.25	0.99
RPL5	1.03	1.89
PABPC4	1.03	1.07
RPL3	1.27	1.23
FEN1	0.75	0.72
CLTC	0.70	1.01
CSDA	0.85	0.46
LUC7L	0.88	0.86
SNRPE	0.86	0.80
LOC650283	1.11	1.31
TRAP1	0.92	1.05
TUBA1B	0.92	0.85
PCBP2	0.97	0.77
NACA	1.45	1.17
RCN1	0.68	0.82
KIAA0368	1.52	1.25
ARPC2	1.32	0.96
DAG1	1.46	0.80
POLR2B	0.88	0.94

RBM25	0.78	0.86
BAT3	0.79	1.84
BAT1	1.07	1.00
LOC653232	1.42	1.37
IPO7	0.62	1.01
PKM2	0.72	0.97
SF3A3	0.70	0.86
HNRNPH1	0.62	0.66
DIABLO	0.70	0.68
HNRNPH3	0.76	0.99
NES	0.97	1.45
TNPO3	0.71	0.98
HNRNPR	0.84	0.96
HNRNPU	0.57	1.01
GCN1L1	1.16	1.10
METAP1	1.12	0.88
HNRNPK	0.74	1.02
FASN	0.72	1.00
HNRNPM	0.91	1.90
RPL7	1.83	1.36
HNRNPC	0.59	1.00
HNRNPD	0.72	0.96
HNRNPF	1.22	1.24
HELLS	1.10	1.11
HDLBP	1.04	1.28
LOC441246	1.06	1.10
RCC2	2.29	2.16
ARL6IP1	0.90	1.01
ERP44	1.04	0.83
HNRNPUL1	1.31	1.34
RPL39	1.08	1.29
SMU1	0.47	1.04
RPL36	1.45	0.97
HSP90AA1	0.89	0.95
PSMB5	1.14	1.15
PSMB1	1.04	1.29
FBL	0.46	0.55

RPS13	1.05	1.49
KARS	1.05	1.02
RPS11	1.26	1.06
RPS10	0.98	1.20
RPS17	1.07	1.09
RPS16	1.03	1.54
SSRP1	1.91	0.55
RPS19	1.02	1.05
SCP2	0.77	0.96
MSN	0.77	0.53
HSPA1A	2.35	1.06
RPL30	1.09	1.08
CACYBP	0.47	0.70
RPS23	1.09	0.99
CAND1	0.71	0.68
PRPS1	0.34	0.57
PRPF19	0.78	0.82
SFRS3	1.06	0.40
EXOSC4	0.74	0.77
LDHB	0.15	0.44
SIN3A	0.65	0.96
PLS3	1.57	0.67
ALDH9A1	0.88	0.82
PDIA6	0.97	1.06
PDIA4	0.56	0.61
PDIA3	1.52	1.81
USP10	1.08	1.33
CFL1	0.63	0.92
EIF3G	1.01	1.21
LOC143244	1.25	0.95
NPM1	0.70	1.75
LOC644820	1.09	1.75
DAZAP1	0.72	0.99
ACTN1	2.13	0.78
RPL38	0.86	1.95
ACTN4	1.90	1.03
EZR	4.21	3.75

RPL31	1.14	1.13
G3BP1	1.25	1.69
DKC1	0.61	0.92
PTRF	1.04	1.31
DNM1L	0.59	0.83
SERPINH1	0.99	1.07